

国鉄鉄道技術研究所 正員 ○ 那須 誠  
 国鉄仙台新幹線工事局 正員 阪本 謙二  
 国鉄鉄道技術研究所 安田 祐作

### 1. まえがき

耐震設計に用いる土の動的変形係数を、軟弱地盤において実測すると共に、採取試料を用いて室内試験を行なった。ひずみレベルを考慮して変形係数の測定結果を整理し、変形係数の各種測定法による違いと、静的変形係数と動的変形係数の違いを明らかにして、前回の測定結果<sup>(1)</sup>と比較することを試みた。

### 2. 測定概要

良好地盤において既に明らかにされている変形係数の測定法による違いを、軟弱地盤にもそのまま適用できるのかどうか調べるため、前回は新潟平野の軟弱地盤で測定を行なった。前回の測定結果が他の地域の軟弱地盤にも当てはまるのかどうかを見るため、今回は仙台平野の沖積層軟弱地盤で測定を行なった。図1のように、地表から約7mの深さまで  $f_c = 1 \sim 3 \text{ kg/cm}^2$  が続く極く軟弱なシルト質地盤である。ここでの地表から約1.75mの深さで4種類の測定試験を行なった。ここでは  $\gamma = 1.1 \text{ g/cm}^3$ ,  $\gamma_u = 0.12 \text{ kg/cm}^2$ ,  $f_c = 1.6 \text{ kg/cm}^2$  である。このうち、平板載荷試験は直径30cmの剛性円板を用いて静的緩速と静的急速の両試験の他に動的試験(振動数0.25Hz一定のA,C試験と振動数1~0.125HzのB試験、写真1)を行なった。

図1 土質柱状図

| 深さ(m) | 柱状図           | 土質名    | $f_c(\text{kg/cm}^2)$ |
|-------|---------------|--------|-----------------------|
| 0     | 暗褐色           | シルト    | 0 1 2 3               |
| 1     | 灰色火山灰質微細砂     |        |                       |
| 2     | 灰褐色           | シルト    |                       |
| 3     |               | (有機物混) |                       |
| 4     |               |        |                       |
| 5     |               |        |                       |
| 6     | 暗茶褐色          | ヒート    |                       |
| 7     | V V V V V V V |        |                       |

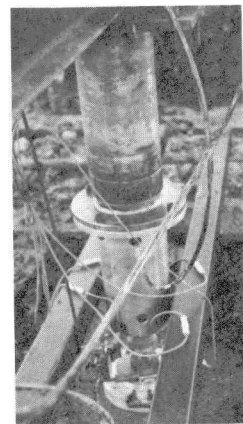


写真1  
動的平板  
載荷試験  
機

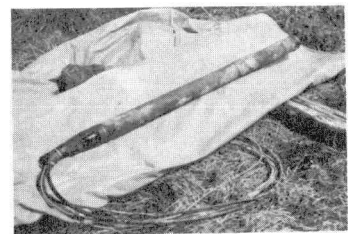


写真2 動的孔内水平載荷試験機

### 3. 測定結果

割線係数としての変形係数Eとひずみεの求め方及び動的試験での変形係数の求め方も、前回と同じである。その結果、振動数の変化範囲は小さいけれども、変形係数は振動数によらずほぼ一定であること、ひずみの小さいうちは変形係数は大

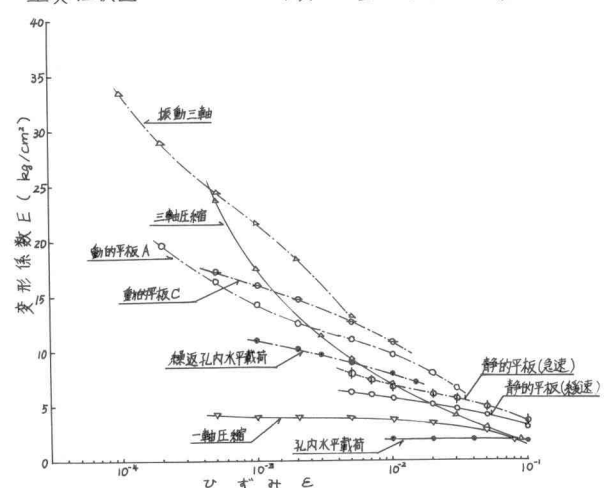


図2 变形係数とひずみとの関係

きいが、ひずみが大きくなるとともに変形係数とそのばらつきが小さくなることなどが今回も前回と同様に認められた。図2は各試験法によって得られた変形係数(平均値)とひずみとの関係である。図3は $10^2$ のひずみの点の変形係数を基準にして求めた変形係数比とひずみとの関係である。

(1) 同一種類の試験でも、動的載荷と静的載荷の両試験の同じひずみの点の変形係数 $E_d$ と $E_s$ を比較すると、 $E_d$ は $E_s$ より大きい。また、今回も前回と同様に振動三軸圧縮試験の変形係数 $E_d$ は最も大きく出ており、孔内水平載荷試験の変形係数 $E_s$ は最も小さく出ている。

(2) 静的変形係数 $E_s$ をひずみが $10^2$ の点で平板載荷試験の $E_s$ と比較すると、一軸圧縮試験の $E_s$ は約2/3倍、孔内水平載荷試験の $E_s$ は約1/3倍、三軸圧縮試験の $E_s$ は殆んど同じ大きさを示す。

(3) ひずみが $10^3$ の点における動的変形係数 $E_d$ と、同一試験法による上記の $E_s$ と比較すると、平板載荷試験での $E_d$ は $E_s$ の約1.5倍、孔内水平載荷試験での $E_d$ は $E_s$ の約2倍、一軸圧縮試験での $E_d$ は $E_s$ とほぼ等しく、三軸圧縮試験での $E_d$ は $E_s$ の約3倍である。

また、孔内水平載荷試験による変形係数が特に小さいのは、他の試験法が鉛直方向載荷であるのに、この試験だけ水平方向載荷であるため、即ち土粒子配向性と圧密時とせん断試験時の主応力の方向転換が関係していると考えられる。その他に、試験機の構造、載荷法、変形係数の算定法等の違いも変形係数に差が出てくる原因と考えられる。以上の測定結果から求めた補正係数 $\alpha$ を、前回の新潟平野において求めた補正係数<sup>(1)</sup>と従来の良好地盤において求められた補正係数<sup>(3)</sup>と併せて表3に示す。

ひずみ $\varepsilon$ と割線弾性係数 $E$ との間には、Hardin-Drnevichによると $E/E_s = (1 + \varepsilon/E_s)^{-1}$ の関係がある。ただし、 $E_s$ は初期接線係数、 $E_s$ は基準ひずみであり、図4などから $E_s$ は $10^3$ のオーダである。<sup>(2)</sup>それ故、 $\varepsilon = 10^3$ のときの $E$ は $E_s = 10^2$ のときの $E$ の数倍となり、今回の試験結果もこの範囲内に入っていることがわかる。

#### 4. あとがき

前回と同様に、ひずみレベルを考慮して変形係数の測定法による違いと、静的と動的の係数の違いを求めた。が、それらの違いの今回の測定結果と前回の測定結果の間の相違をさらに調べる必要があると考えられる。以上の測定は、国鉄本社技術課題「耐震設計に関する研究」の一環として、岡本舜三研究委員会委員長はじめ新幹線建設局工事第二課、構造物設計事務所他の委員会メンバーから多大の助言と指導を受けて行ったものである。また、実際の測定に当っては国鉄仙幹工高清水工事区並びに基礎地盤コンサルタントK.K.にお世話をになった。以上の関係の方々に深く謝意を表します。

#### 参考文献

- (1) 那須、小倉他：地盤の変形係数の測定法による違い、第32回土木学会年次学術講演会講演概要集、1977.10
- (2) 石原：土質動力学の基礎、鹿島出版会、1976.8、p170, p196 (3) 土木工学ハンドブック、1974.11、p1153

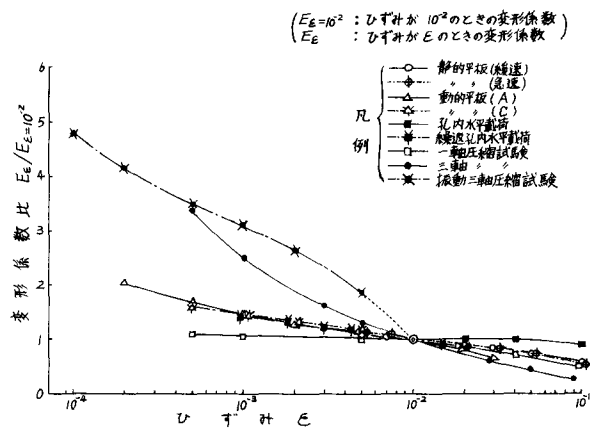


図3 変形係数比とひずみとの関係

表1 変形係数の試験法と補正係数

| 試験法           | 従来 <sup>(2)</sup> |    | 新潟平野 <sup>(1)</sup> |    | 仙台平野 |     |
|---------------|-------------------|----|---------------------|----|------|-----|
|               | 常時地震時             | 常時 | 常時地震時               | 常時 | 常時   | 地震時 |
| 平板鉛直載荷試験      | 1                 | 2  | 1                   | 2  | 1    | 1.5 |
| ボーリング孔内水平載荷試験 | 4                 | 8  | 1.5                 | 3  | 3    | 6   |
| 一軸圧縮試験        | 4                 | 8  | 1                   | 2  | 1.5  | 1.5 |
| 三軸圧縮試験        | 4                 | 8  | 1.5                 | 6  | 1    | 3   |

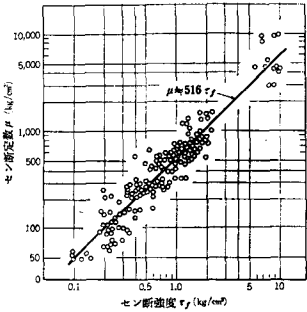


図4 セン断定数とセン断強度<sup>(2)</sup>